

プレストレスト合成桁の実験的研究

大阪市立大学 橋 善 雄
大阪市土木局 近 藤 和 夫
新三菱重工神戸造船所 伊 藤 鉱 一

(1) 実験の目的および内容

図-1, 2に示す模型桁により、表-1を内容とするプレストレスト合成桁の静的動的載荷試験を行い、プレストレスト合成桁に関する設計資料を得ることを実験の目的とする。

表-1 模型桁の内容

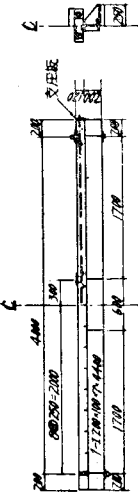
実験	桁名称	本数	桁の種類	実験の内容
I	A	1	PC鋼棒によるプレストレスト桁	プレストレスト導入試験静的破壊試験
	B	1	支点上下によるプレストレスト桁	同
II	C	4	PC鋼棒によるプレストレスト桁	5ヶ月間クリープ収縮ヒズミ測定後、動的載荷、静的破壊試験
	D	4	支点上下によるプレストレスト桁	同
	E	2	普通桁	5ヶ月間収縮ヒズミ測定後静的破壊試験
	F	2	コンクリート床板のみ	5ヶ月間収縮ヒズミ測定

A, B桁はコンクリート打ちの約4週後プレストレス導入試験を行い(A桁ではプレストレスのジベルへの応力集中測定)、その後静的破壊試験を行つてA, B桁の降伏状況を比較する。C, D桁は同様にプレストレス導入を行い、約5ヶ月後その内3本づゝに動的載荷試験を行つてから、動的載荷を行わなかつたものと耐荷力を比較する。E桁は約5ヶ月後静的破壊試験を行い、C, D桁と耐荷力を比較する。Fの1本はビニール封緘剤をコンクリート全表面に塗布し、収縮への影響をしらべる。

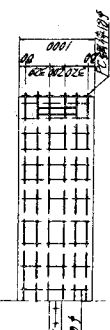
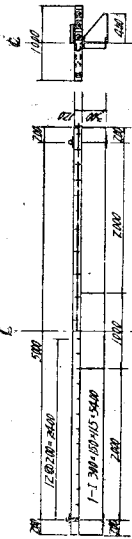
図-1 一般図 そ(1)

図-2 一般図 そ(2)

TYPE C



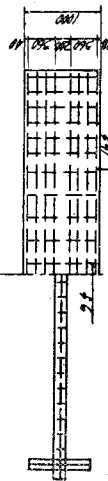
TYPE A



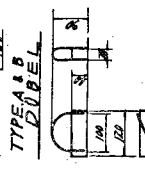
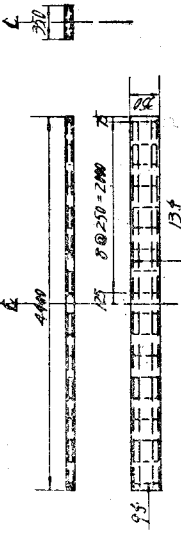
TYPE B



TYPE D & E



TYPE E

TYPE A & B
DUBBLE

(2) 材料試験成績

	材令(日)	強度(kg/cm^2)	ヤング率(kg/cm^2) (0-566 kg/cm^2)	引張強さ係数(kg/cm^2)
コンクリート (3個平均)	26	300	248000	—
	36	320	251000	23.5
鋼材 (3個平均)		I 300×150×11.5	I 200×100×7	
		ウエブ	フランジ	ウエブ
	降伏点(kg/cm^2)	2650	2440	3460
	引張強さ(kg/cm^2)	4410	4430	4690
	伸(%)	26.7	29.0	26.3

(3) A 枠のプレストレス

プレストレスは、住友電工製高張力鋼棒第1種 $\phi 18 \text{mm}$ 、6本により、1本につき 10t づく ($\sigma = 44 \text{kg}/\text{mm}^2$) 与えた。プレストレスは桁に近いPC鋼棒から対称の位置のもの2本づくを引張りかつゆるめて、コンクリート床板および鋼析のヒズミ分布をしらべた。(図-3)

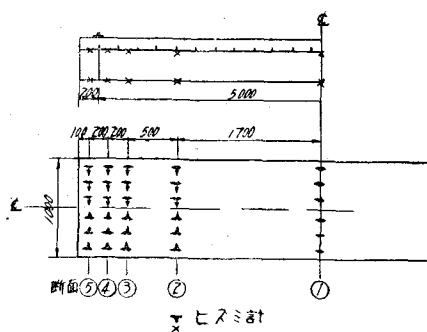


図-3 ヒズミ測定点

その結果は図-4に示すように、定着位置付近ではコンクリート床板への応力集中がかなり見られるが、床板幅 100mm だけ離れた②断面ではほとんど平均してくる。

また図-5の鋼析のヒズミ分布からみてもそのほか床板の中に図-6に示す位置に埋めた振動線ヒズミ計の記録を見ても、②断面ではプレストレス力がシベルへ伝わり終つてあり、桁に近い2本すなわち③④を引張ったときのみ桁端シベルへの応力集中が認められるが、他については認められない。それゆえ桁に近い2本を引張った場合のみ

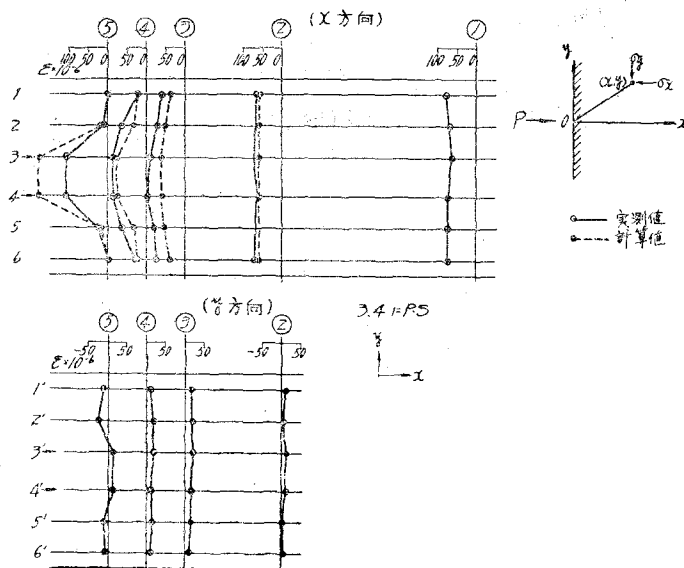


図 4-1 A 枠 P . S 導入試験コンクリート
上面ヒズミ分布

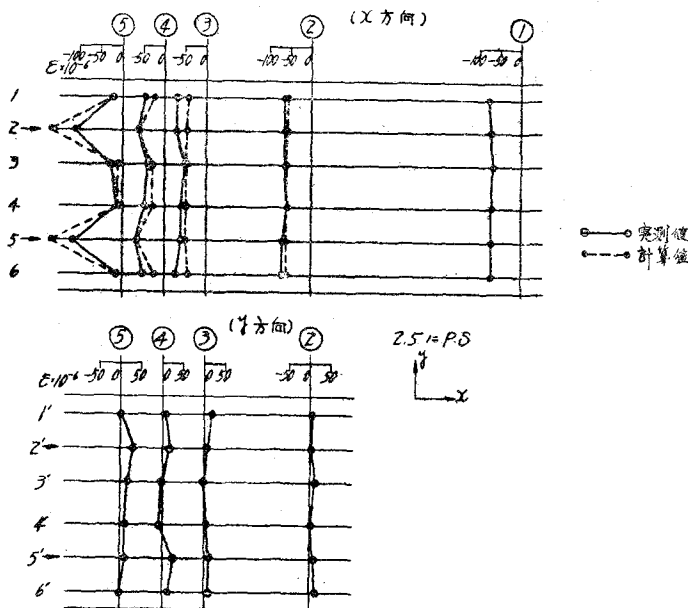


図 4-2 A 枠 P . S 導入試験コンクリート
上面ヒズミ分布

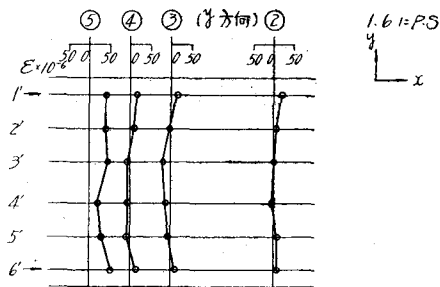
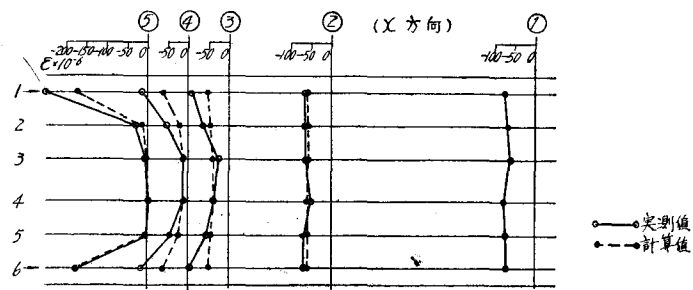


図 4-3 A 桁P・S導入試験
コンクリート上面ひずみ分布

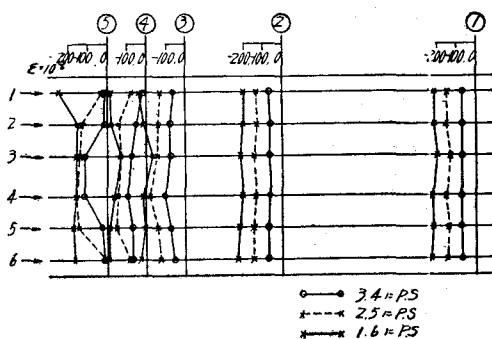


図 4-4
A 桁P・S導入試験
コンクリート上面
ひずみ分布

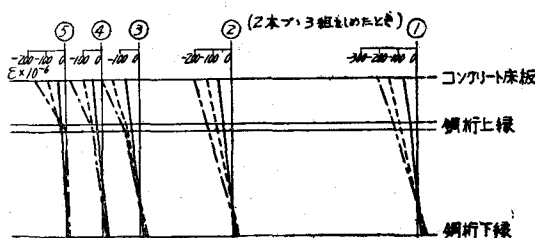
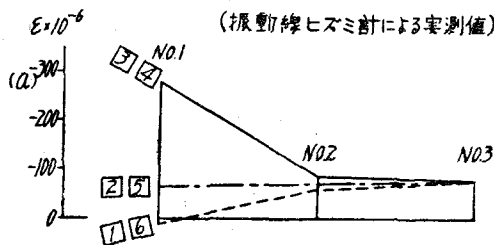
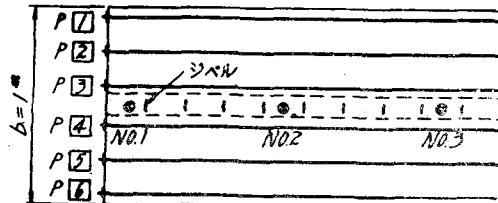


図 4-5
A 桁P・S導入試験
鋼桁ひずみ分布



(b) ● 振動線ヒズミ計位置



$$N = 6P = 60t$$

(c) 三角形分布とパラボラ分布

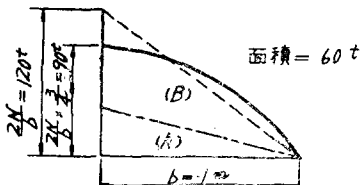


図-6 プレストレス力のジベルへの分布

の応力度およびヒズミは床板厚さをdとするとき

$$\sigma_x = -\frac{2P}{\pi d} \frac{x^3}{(x^2 + y^2)^2}$$

$$\sigma_y = -\frac{2P}{\pi d} \frac{xy^2}{(x^2 + y^2)^2}$$

$$\epsilon_x = \frac{1}{E} (\sigma_x - \mu \sigma_y)$$

で与えられる。2Pを⑤断面では床板のみに、②断面では合成断面に作用するとしてヒズミを計算し、④③断面では前述のように、2P, α は床板のみに、2P(1-2)は合成断面に作用するとして計算したヒズミを加え合せたものを、図-4に実測値とともに示した。それを見ると両者の傾向が大体一致しているのがうかがわれる。

P C鋼棒の引張力はSiwplex jack のゲージで読み、またP C鋼棒の他端の上下2ヶ所にゲージを張つてヒズミを読んだが、その結果をみると定着によるlossはほとんどなかつた。再度しめ直した結果他端ゲージによる応力は一本当平均9.45tであつた。プレストレスを60

応力集中を考えて三角形分布とするとしても、他のものについては三角形分布とは考えることはできないから、これらを加え合せたものは図-6(c)のように一応パラボラ分布と考えてもよいのではなからうか。かように仮定すると、DIN 1078によりプレストレス力全部を桁間隔bの長さに対する三角形分布とするものに比し、桁端では3/4の大きさになり、この場合端ジベルの分担は三角形分布と考えた場合の82%となるので、ジベル設計の困難さが緩和される。

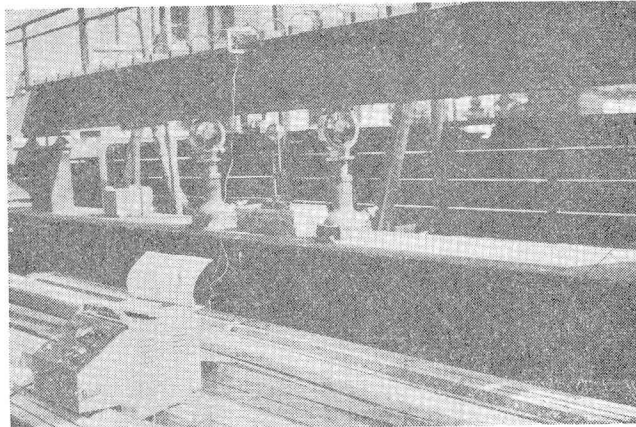
つぎに図-4に示すように、半無限大床板に集中荷重Pが端端に直角に作用するときは、板内の任意の点

t としてのコンクリート上縁計算値 -50.2 kg/cm^2 に対し実測値平均は -52.5 kg/cm^2 であつた。

(4) B 枠のプレストレス

両端は下におかれた剛度大なる鋼桁とボルトで連結し、中央2点に、リングゲージをのせたジャッキにより鋼桁をそらせて7tづつの荷重を与える（写真-1）。コンクリートを打つて

25日後にジャッキを取り外した。そのときリングゲージは7.5tを示しており、0.5tは収縮による反力増加である。鋼桁下縁にとりつけた振動線ヒズミ計からコンクリートの収縮応力度を略算すると 12.0 kg/cm^2 となつた。ジャッキ取り外しにより $\sigma_b = -55.1 \text{ kg/cm}^2$
 $\sigma_{st} = +926 \text{ kg/cm}^2$



写 真 一 1

を計算上生ずるが、これに対し実測値は $\sigma_{st} = +900 \text{ kg/cm}^2$ であつた。なおA 枠と収縮に対する条件を等しくするために、床板中に鉄筋8-16φ ($A = 16.1 \text{ cm}^2$)を入れてあり、破壊荷重計算のときにもこれを考慮した。

(5) A, B 枠載荷試験

載荷試験は逆T型で中央1mの2点載荷により行つたが、弾性試験 $2P = 12 \text{ t}$ による実測値と計算値の比は、セん断力によるタワミも含めてタワミ比A 枠9.5%、B 枠9.2%、鋼桁下縁についての応力比A 枠9.4%、B 枠9.1%であつた。

ひびわれ荷重は、電気抵抗線ヒズミ計によるものはA 枠15t、B 枠14t、肉眼によるVisible crack¹⁾に対するものはA 枠18t、B 枠17tであつた。前記のように、プレストレスによつて与えたコンクリート床板上縁の応力度はB 枠の方が大であつたに關らず、ひびわれ荷重はB 枠の方が小であつた理由は、B 枠のコンクリート硬化期間中連続桁となつていた間の収縮応力度が大であつたことによるものと考えられる。

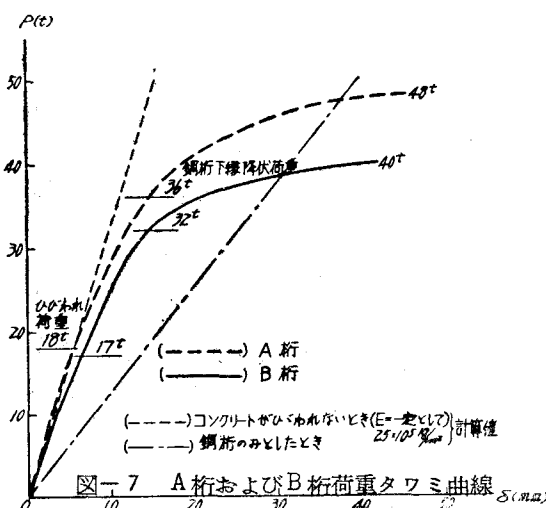
実験から曲げ引張強度を計算すると次のようになる。

$$A\text{桁} + 69.7 + 5.0 + 5.0 - 50.2 = +30.5 \text{kg/cm}^2$$

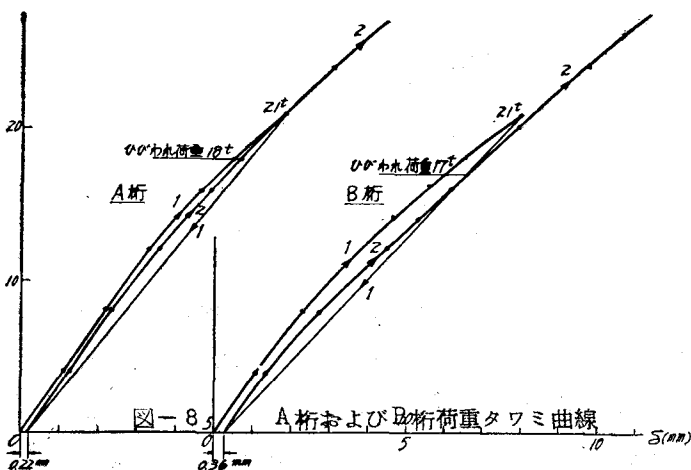
(荷重) (自重) (収 ク)) (プレストレス)

$$B\text{桁} + 65.8 + 5.0 + 15.0 - 55.1 = +30.7 \text{kg/cm}^2$$

P C 桁にくらべて、合成桁では鋼桁が存在するために、床板がひびわれても荷重タワミ曲線に急なまがりを生じない。A, B 桁いずれも、ひびわれ荷重を上回った荷重 21t から 0t にもどしたとき、ひびわれは A 桁では完全にとど、B 桁でもほとんどとどたが、残留タワミは A 桁 0.22mm、B 桁 0.36mm であつた。A, B 桁の荷重タワミ曲線および荷重ヒズミ曲線を図-7, 8, 9 に示したが、これをみると B 桁の方がやゝ弾性性質が劣つているのが認められる。



プレストレスによるヒズミを加えて鋼桁下縁が降伏点に達する荷重は、A 桁 36t、B 桁 32t であり、次第にひびわれは床板裏面に及び（図-10, 11）、B 桁では 34t で上縁も降伏点に達するが、A 桁では上縁は最後まで降伏点に達しない。A 桁 48t、B 桁 40t で鋼桁下縁は側方坐屈を起し、タ



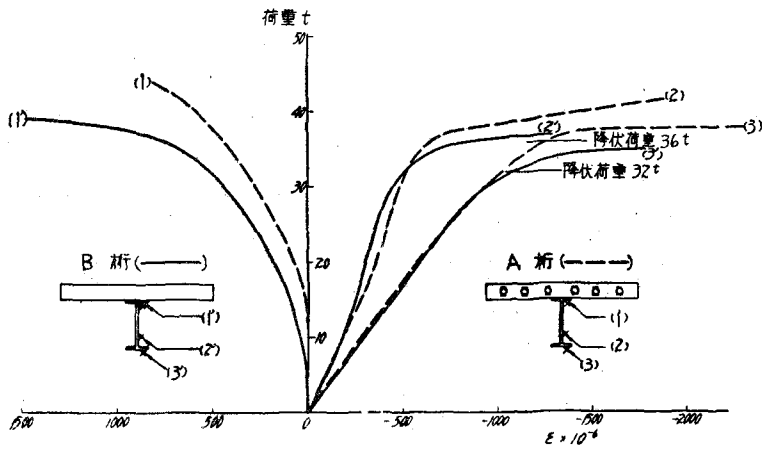


図-9 A 枠およびB 枠 鋼桁荷重ヒズミ曲線

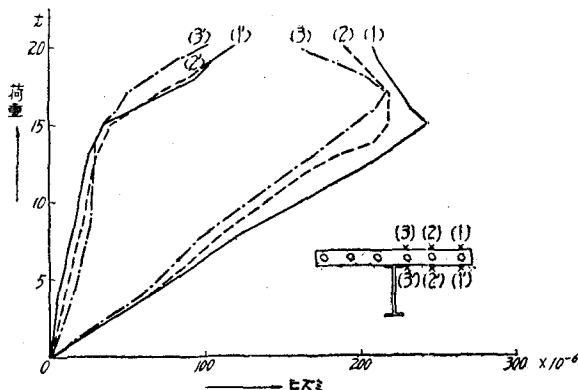


図-10 A 枠コンクリート上面および下面
荷重ヒズミ曲線

ワミはA 枠4.5 cm、B 枠4.3 cmに達した(写真一
2)。鋼桁下縁降伏荷重より破壊荷重までの範
囲はA 枠の方が大きい。
P C 鋼棒の降伏点応力
度を 6.7 t/cm^2 鋼桁のそ
れを 2.5 t/cm^2 として計
算すると、A 枠の鋼桁下
縁降伏荷重は 35.37 t

であり実験値 36 t との比は 1.02 であつた。またB 枠の破壊荷重は 35.86 t で実験値 40 t との比は 1.12 であり、B 枠の場合プレストレスは降伏荷重以後は消失し破壊荷重には影響しないことを示している。

なお破壊のとき、B 枠にはずれは生じなかつたが、A 枠は桁端より2つ目のシベルあたりからひびわれが生じ桁端ずれは一端 0.1 mm 他端 0.07 mm であつた(写真一3)。

これは端シベル前面のコンクリート支圧破壊によるものと考えられ、あらかじめ鋼桁上端とコ
ンクリートのbond を切つておいたので明瞭に表われたものと思われる。

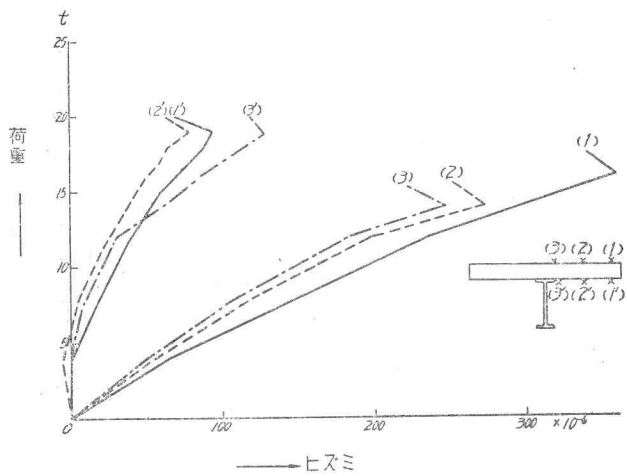
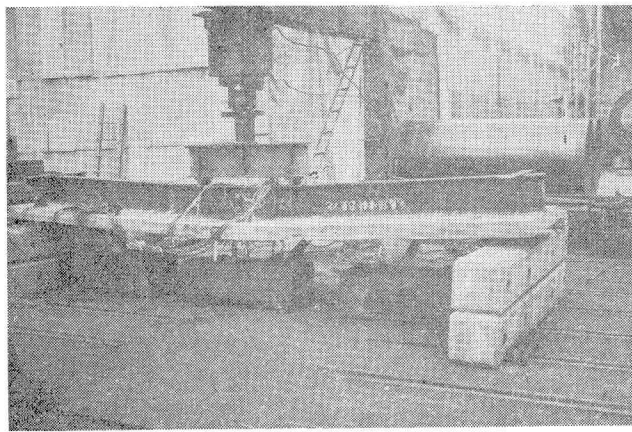
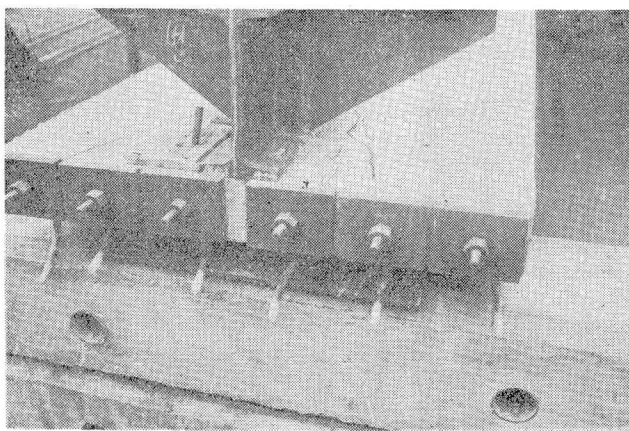


図-11 B桁コンクリート上面および下面
荷重ヒズミ曲線



写 真 一 2



写 真 一 3

(6) C桁, D桁のプレストレス

C桁はφ 18mm PC鋼棒2本に20tの引張力を与え、コンクリート床板上縁には桁4本平均実測値 49.0 kg/cm^2 の圧縮応力度を与えた。

D桁は下に剛度大なる鋼桁をおき中央60mmの二点に支点を置いて、両端支点のボルトのナットをスパナーでしめて桁を1mmたわませ(dial gageで測定)、コンクリートを打つて25日後、ボルトをゆるめることによつてコンクリート床板上縁に桁4本平均実測値 52.7 kg/cm^2 の圧縮応力度を与えた。

(7) C, D, E, Fの収縮、クリープ測定

床板上縁および鋼桁下縁につき、桁1本に10数個所をHuggenberger ヒズミ計で5ヶ月間測定をつゞける。

(8) C, D桁の動的載荷試験およびC, D, E桁の静的載荷試験

動的載荷試験は1本につき100万回づゝ行う予定であるが、実験が原稿提出時に間に合わなかつたので、この分の実験結果は講演時にゆずる。

あとがき

以上の実験については、新三菱重工戸倉君、大阪市佐伯、田中両君、大阪市大中井、増田両君の御協力を得たことを感謝する。

文 献

- 1) Abeles. Cracks in prestressed concrete beams,
IABSE 1956.